

ANEXOS

Autora

Laura Quintanilla Torres

Anexo 1: Cartografía unificada de la serie Magna

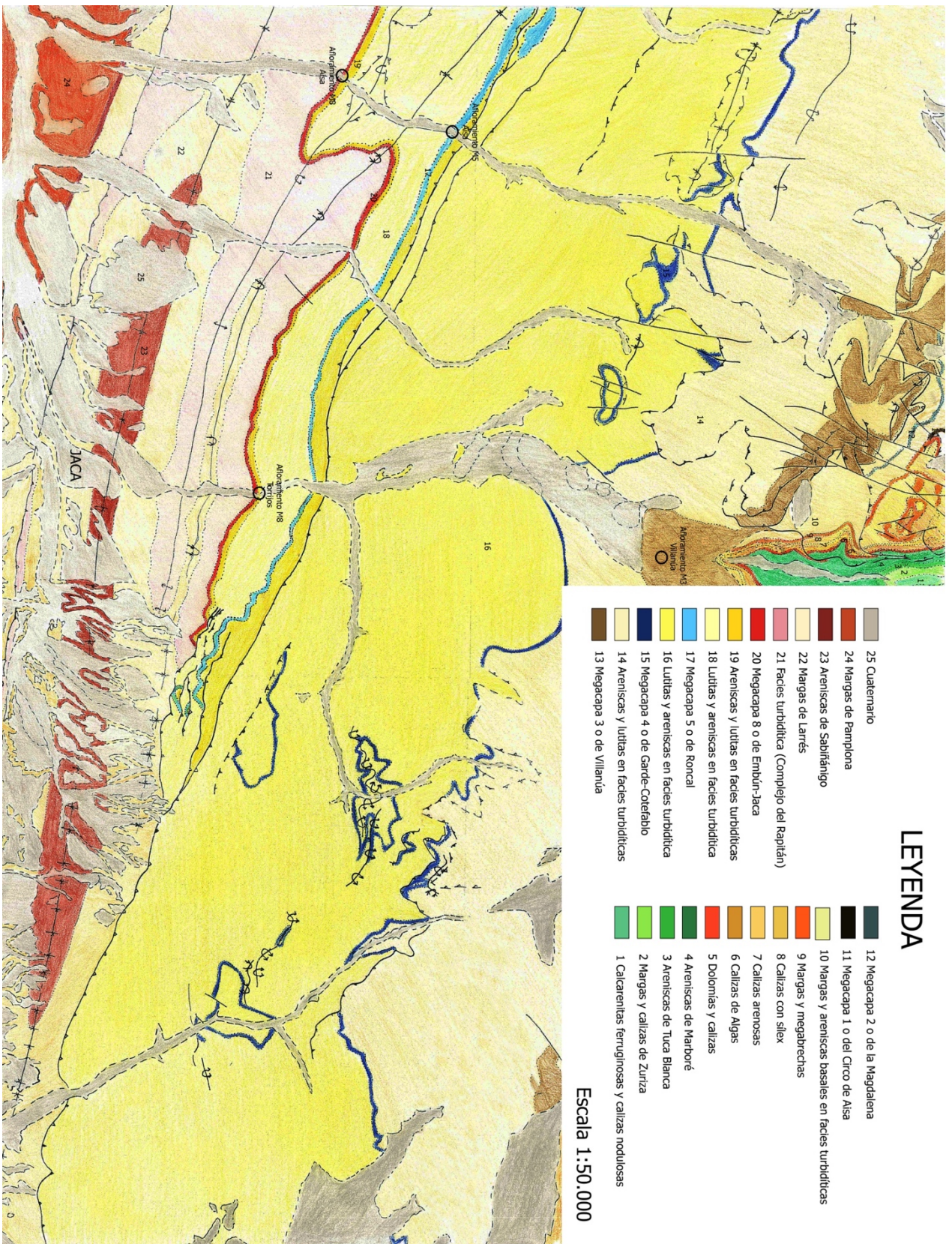



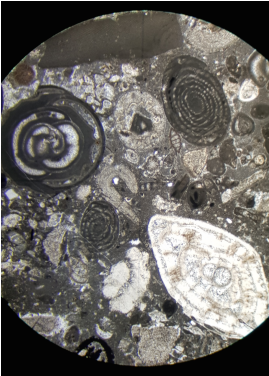
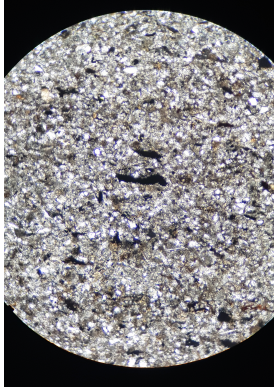



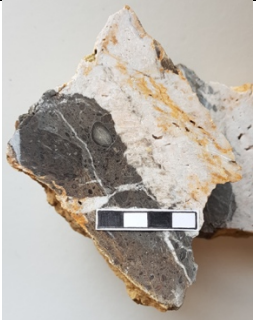


Figura 12: Cartografía unificada de la serie Magna.

Anexo 2: Descripción de las secciones pulidas y láminas delgadas de las muestras recogidas en campo.

	<p>A2: Arenisca de grano fino con muchas fracturas de origen sedimentario. Está cementada por esparita. Las fracturas se han producido en zonas donde el material es de grano más fino.</p>		<p>TE4: packstone formado por la acumulación de restos microscópicos de foraminíferos de diámetro menor a 1mm.</p>
	<p>A3: Canto de brecha formado por restos de foraminíferos de tamaño microscópico unidos entre sí por la matriz. El canto se encuentra fracturado y estas fracturas siguen una dirección única, según los planos sedimentarios.</p>		<p>TE5: packstone (o rudstone) formado por la acumulación de foraminíferos de diversos tamaños que actual como clastos, cantos de caliza que también los contienen y calcarenita. Los cantos se encuentran granosostenidos por la matriz. Los tamaños de los clastos varían de 1mm hasta 1 cm.</p>
	<p>A4: packstone formado por la acumulación de restos y fragmentos de foraminíferos unidos entre sí por cemento. Los fósiles tienen un diámetro menor a 1 mm. Se reconocen miliólidos.</p>		<p>V1: caliza brechificada. Los fragmentos son wackstone con restos fantasmas de foraminíferos. Presenta grandes grietas rellenas de grandes cristales de calcita.</p>
	<p>A5: Canto de brecha con textura packstone formado por la acumulación de cantos sostenidos por cemento. Los intraclastos están formados por caliza con abundantes restos de foraminíferos cementados por esparita. El tamaño de los cantos es de 1 a 2 cm. Algunos de los cantos son nummulites y miliólidos de un tamaño de hasta 2 mm.</p>		<p>V3: pakstone formado por la acumulación de cantos redondeados y angulosos de 3 mm a 3 cm de diámetro. Los cantos son de caliza, caliza con fósiles y en menor proporción de arenisca. Se reconocen nummulites y miliólidos.</p>

	<p>A6: Packstone formado por la aglomeración de fósiles de foraminíferos de tamaño bastante uniforme, de 1 a 3 mm, que están cementados. Se reconocen miliólidos y nummulites.</p> <p>En la imagen superior se puede observar la sección pulida de la muestra, mientras que en la imagen inferior se encuentra la imagen tomada al microscopio de la lámina delgada.</p>		<p>C11: canto de calcarenita de grano muy fino con zonas de acumulación de pirita. Se encuentra alterada en los bordes.</p> <p>En la imagen superior se puede observar la sección pulida de la muestra, mientras que en la imagen inferior se encuentra la imagen tomada al microscopio de la lámina delgada. En lámina delgada se ve muy recrystalizada.</p>		
			<p>TW4: packstone formado por la acumulación de restos de foraminíferos (de diámetro menor a 1mm) y por cantos de caliza y calcarenita (de diámetro menor a 1 mm).</p>		<p>V5: grainstone de cantos de caliza de 1 a 2 mm. Son de la misma litología que en la muestra V3, pero de menor tamaño.</p>
	<p>TW3: packstone formado por la acumulación de restos de foraminíferos de tamaño microscópico (menor a 1mm). Los fósiles son miliólidos y otros restos de bioclastos no reconocibles en la lupa.</p>		<p>C8: packstone formado por cantos de caliza y otros cantos formados por un único fósil de nummulites. Los tamaños de los cantos son muy variables, de 1 mm a 1.5 cm. Se encuentra muy fracturada, cuyas fracturas están rellenas de calcita.</p>		



	<p>TE3: packstone formado por la aglomeración de foraminíferos que actúan como cantos. Tienen tamaños desde 3 mm hasta 8 mm de diámetro. Están sujetos por una matriz.</p>		<p>V4: packstone formado por cantos muy angulares de 2 a 8 mm de diámetro. Algunos de ellos son caliza, caliza con fósiles y fósiles sueltos. Están soportados por la matriz. Pueden diferenciarse nummulites.</p>
---	--	--	--

Tabla 2: Muestras pulidas y láminas delgadas de las muestras recogidas en el campo, donde se pueden observar las texturas y componentes de las mismas.

Anexo 3: Esquema interpretativo de la Megacapa 8 en el afloramiento de Torrijos

